

知的情報処理論 第11回

2023年6月27日 (火)
武田

1

お断り

用語

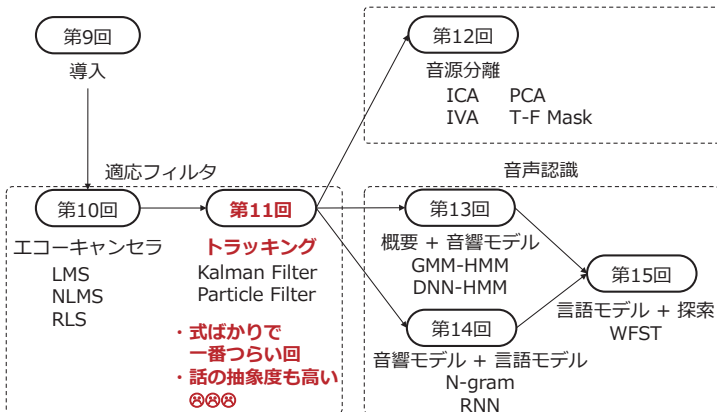
- おおよそ連続確率変数が前提
確率, 分布, 確率密度 → 確率密度関数の意
e.g. 事前分布 = 事前確率 = 事前確率密度

表記: 断りがない場合

- 大文字 bold → 適当な次元の行列 \mathbf{A}
- 小文字 bold → 適当な次元の (列) ベクトル \mathbf{a}
- (離散的な)時刻 a から b をまとめた行列
(ベクトルの系列) $\mathbf{a}_{a:b} = [\mathbf{a}_a, \mathbf{a}_{a+1}, \dots, \mathbf{a}_b]$

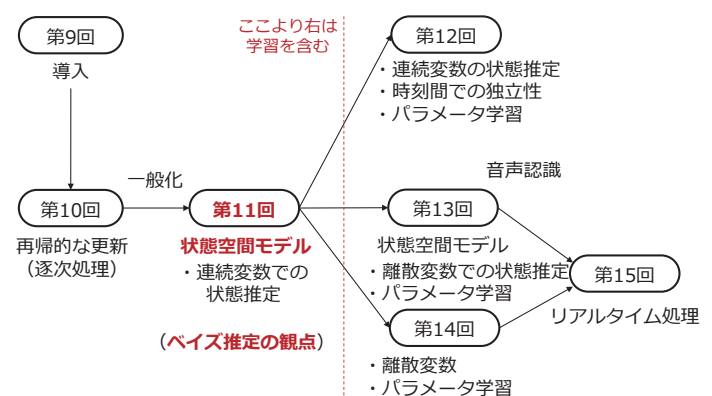
2

各回の内容 (予定)



3

各回の内容 (予定)



4

頭の片隅に置いとく方が良い 大まかな要素

コスト関数

- ・「良さ」を測る関数
教師あり学習: 二乗誤差, CrossEntropy, etc...
教師なし学習: 尤度, 再構成誤差, etc...
認識・推定: 期待値, 最大事後確率(MAP), etc...
- ・ロス/目的関数ともいう

モデル

- ・入出力の関係や拘束条件を記述
- ・方程式や確率モデルで表現
(コスト関数と一体化 or 切り離せない場合も)

ざっくりとした 認識/学習/探索

- ・コスト関数を{最大化|最小化|良く}する
値 (集合) を求める手続き (最適化等の分野)
- ・モデル構造や補助変数・関数を利用した
手続きも存在

「局所的最適解 (局所解)」 「大域的最適解」

5

予備: 誤差と対数尤度

例: 回帰モデル

$$\text{線形} \quad \hat{y} = \mathbf{w}^T \mathbf{x} \quad \begin{matrix} \mathbf{w} & \text{重み} \\ \mathbf{x} & \text{既知データ} \end{matrix} \quad \left[\begin{matrix} \text{非線形} \\ \text{でも同様} \end{matrix} \right] \quad \hat{y} = f(\mathbf{x}; \boldsymbol{\theta})$$

下記2つのコスト関数はほぼ等価

- 二乗誤差コスト $(y - \mathbf{w}^T \mathbf{x})^2$ y 観測データ/正解 (固定値)
- ガウス雑音(or 誤差) + 負の対数尤度

$$y = \mathbf{w}^T \mathbf{x} + \varepsilon \quad \varepsilon \sim N(0, \sigma^2)$$

固定値 ばらつく値 (誤差)

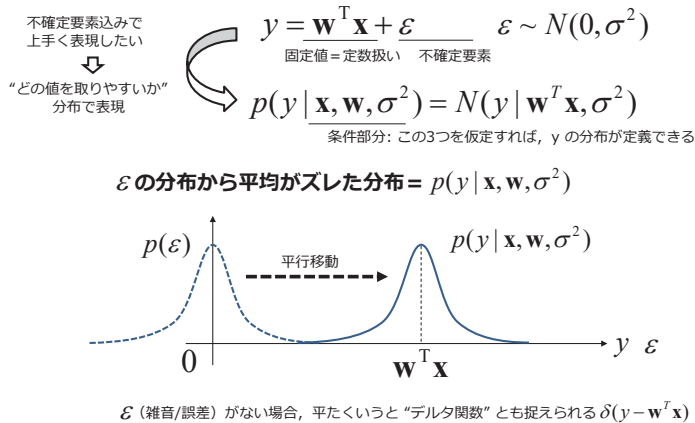
$$\Downarrow$$
$$\text{負の対数尤度} \quad -\log p(y | \mathbf{x}, \mathbf{w}, \sigma^2) = \frac{1}{2} \log 2\pi\sigma^2 + \frac{1}{2\sigma^2} (y - \mathbf{w}^T \mathbf{x})^2$$

二乗誤差部分

他: L1ノルム と ラプラス分布

6

予備: 誤差と対数尤度

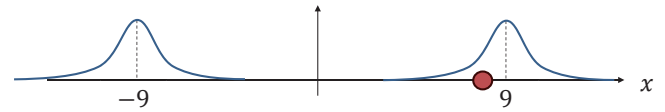


予備: 尤度

2つのガウス分布 (2つのクラス)

$$p(x|z = -9) = \mathcal{N}(x; -9, 1)$$

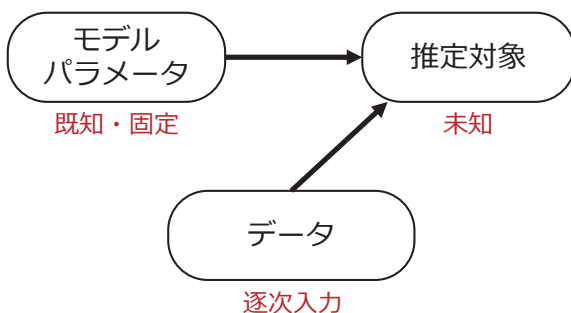
$$p(x|z = 9) = \mathcal{N}(x; 9, 1)$$



例: データ $x = 8$ はどちらから ($z = 9$ or $z = -9$ の設定) 生成されたと考えるのが **尤もらしいか**

— x は両方で共通かつ **固定の値 (ここでは 8)**

今回の話題



本日の内容: 適応フィルタ

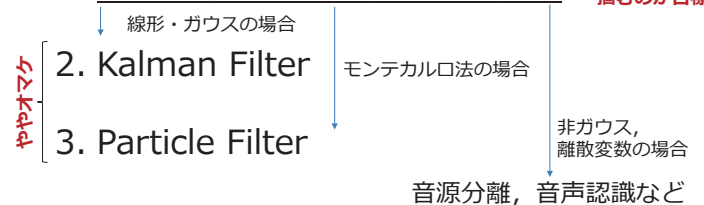
再帰的なベイズ推定で問題を捉える

前回: エコーキャンセラ問題, RLS法

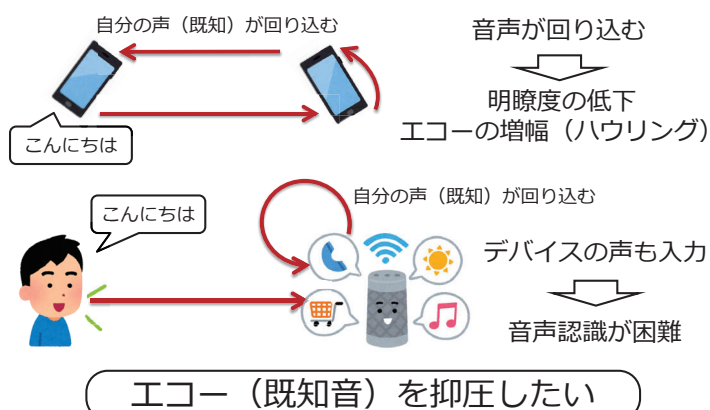
↓ 動的な状況, 一般化, 再帰的推定

1. 一般的な動的システムのモデル

概念やイメージを掴むのが目標

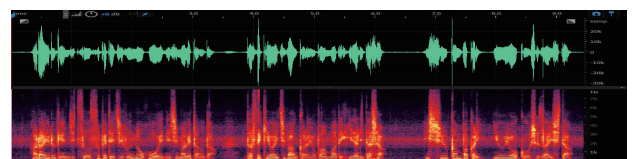


エコーキャンセラ (適応フィルタ)

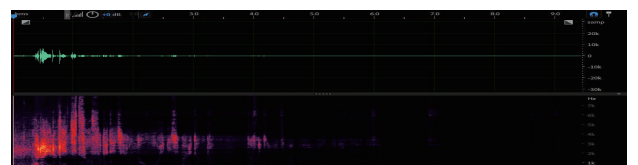


エコーキャンセラ

キャンセル前 (観測信号)



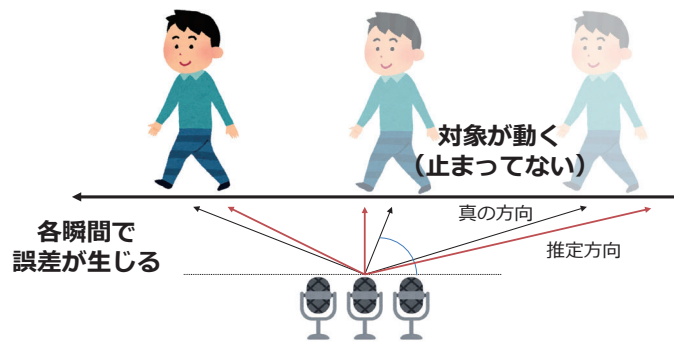
逐次的なキャンセル



トラッキング 斜方投射 + 測定雑音

13

移動音源のトラッキング

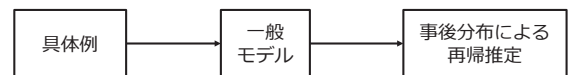


誤差少なく音源方向（位置）を追従したい

14

音源定位 (各瞬間瞬間での方向推定)

15



16

一般的な動的システムのモデル

具体的な例：トラッキング

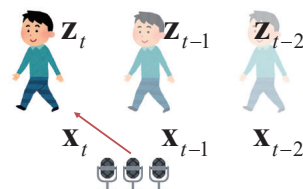
17

目的：移動する音源追跡

入力 \mathbf{x}_t ：センサデータ/推定音源位置

推定対象 \mathbf{z}_t ：音源座標・速度・加速度など

前提：対象がどう動くのかは少しは予測できる



具体的な例：トラッキング

18

目的：移動する音源追跡

入力 \mathbf{x}_t ：センサデータ/推定音源位置

推定対象 \mathbf{z}_t ：音源座標・速度・加速度など

前提：対象がどう動くのかは少しは予測できる

例えば

座標

速度

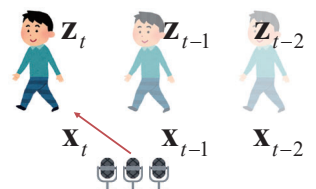
加速度

$$\begin{aligned} \mathbf{x}_t &= \mathbf{x}_{t-1} + \mathbf{v}_{t-1} \Delta t \\ \mathbf{v}_t &= \mathbf{v}_{t-1} + \mathbf{a}_{t-1} \Delta t \\ \mathbf{a}_t &= \mathbf{a}_{t-1} + \mathbf{w}_{t-1} \\ \mathbf{z}_t &= \mathbf{z}_{t-1} \end{aligned}$$

不確定要素
駆動雑音

Δt 時間間隔

モデル化



具体的な例：トラッキング

目的：移動する音源追跡

入力 \mathbf{x}_t ：センサデータ/推定音源位置

推定対象 \mathbf{z}_t ：音源座標・速度・加速度など

前提：対象がどう動くのかは少しは予測できる

モデル化

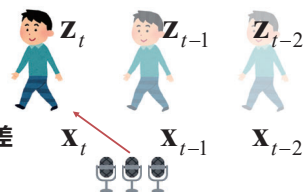
例えば

$$\mathbf{z}_t = \mathbf{A}\mathbf{z}_{t-1} + \mathbf{w}_{t-1}$$

$$\mathbf{x}_t = \mathbf{C}\mathbf{z}_t + \mathbf{v}_t$$

(こう表せるとする)

雑音や
モデル化誤差



具体的な例：トラッキング

目的：移動する音源追跡

入力 \mathbf{x}_t ：センサデータ/推定音源位置

推定対象 \mathbf{z}_t ：音源座標・速度・加速度など

前提：対象がどう動くのかは少しは予測できる

例えば

$$\mathbf{z}_t = \mathbf{A}\mathbf{z}_{t-1} + \mathbf{w}_{t-1}$$

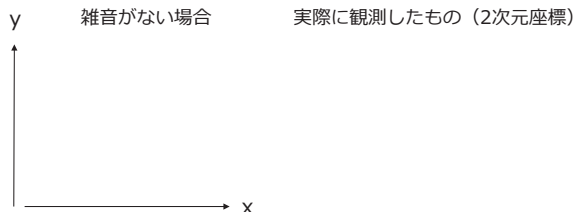
$$\mathbf{x}_t = \mathbf{C}\mathbf{z}_t + \mathbf{v}_t$$

- ・対象がどう変化するか
 - ・データがどう観測されるか
- これらのモデルを仮定して、
直接観測できない \mathbf{z}_t を
データ \mathbf{x}_t から動的に推定

仮想的な例

2次元斜方投射

- 適当な初速を与えて、斜めにボールを投げる
- 重力加速度の影響で軌跡は放物線を描く
- ただし、観測データにはノイズが重畳



仮想的な例

2次元斜方投射 (y軸成分)

推定対象 \mathbf{z}_t ：座標 c_t , 速度 v_t , 加速度 a_t

モデル：運動方程式（大雑把に離散時間近似）

y軸方向の状態遷移モデル

Δt 時間間隔

$$\begin{bmatrix} c_t \\ v_t \\ a_t \end{bmatrix} = \begin{bmatrix} 1 & \Delta t & 0 \\ 0 & 1 & \Delta t \\ 0 & 0 & 1 \end{bmatrix} \begin{bmatrix} c_{t-1} \\ v_{t-1} \\ a_{t-1} \end{bmatrix} + \begin{bmatrix} w_{c,t-1} \\ w_{v,t-1} \\ 0 \end{bmatrix}$$

重力加速度 $-g$

※ 実験データから求める = 学習

誤差/
駆動雑音項

$$\mathbf{z}_t = \mathbf{A} \mathbf{z}_{t-1} + \mathbf{w}_{t-1}$$

仮想的な例

2次元斜方投射 (y軸成分)

推定対象 \mathbf{z}_t ：座標 c_t , 速度 v_t , 加速度 a_t

モデル：運動方程式（大雑把に離散時間近似）

y軸方向の観測モデル

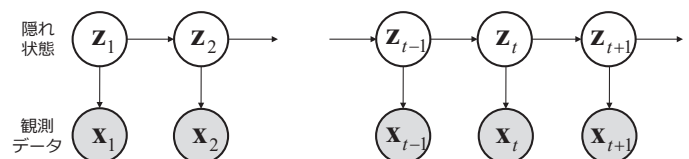
$$y_t = c_t + v_t$$

雑音 v_t

$$\mathbf{x}_t = \mathbf{C} \mathbf{z}_t + \mathbf{v}_t$$

一般的な動的システムのモデル

状態空間モデル: state space model



- ・「状態」と「観測」の2つの概念
- ・状態に基づいてデータが生成される過程をモデル化（ランダム要素を含む、確率的生成モデルの一つ）
- ・予測の信頼度も計算可能

一般的な動的システムのモデル

状態空間モデル: state space model

- 状態ベクトル \mathbf{z}_t
 - (あらゆる)知りたい情報を表すベクトル
例: 座標・速度, 文字列, クラス, 全context, etc...
 - 直接は観測できない: **潜在変数**
- プロセス/状態方程式 $\mathbf{z}_t = \mathbf{f}_{t-1}(\mathbf{z}_{t-1}, \mathbf{w}_{t-1})$
 - 状態が**どう変化するか**を表現
 - 1次マルコフモデル: 前の状態 \mathbf{z}_{t-1} のみに依存
 - プロセス雑音 \mathbf{w}_{t-1} : モデル化誤差などを表現
- 確率密度による表現 $p(\mathbf{z}_t | \mathbf{z}_{t-1})$

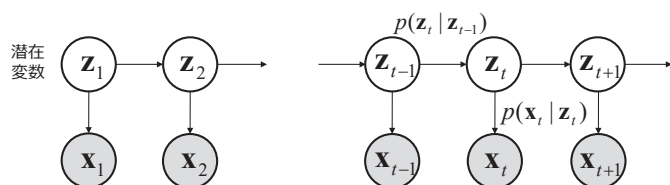
一般的な動的システムのモデル

状態空間モデル: state space model

- 観測ベクトル \mathbf{x}_t
 - 観測値を要素に持つベクトル
 - 記号(言語), 生のセンサ信号や抽出した特徴量など
画像+音声などマルチモーダルデータも含む
- 観測方程式 $\mathbf{x}_t = \mathbf{h}_t(\mathbf{z}_t, \mathbf{v}_t)$
 - 状態 \mathbf{z}_t が観測系を通じてどう観測されるかを表現
 - 観測雑音 \mathbf{v}_t : 観測系の誤差・雑音を表現
- 確率密度による表現 $p(\mathbf{x}_t | \mathbf{z}_t)$

一般的な動的システムのモデル

状態空間モデル: state space model

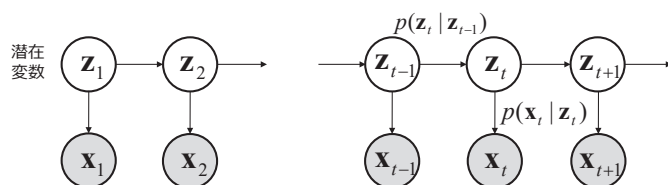


トラッキング・フィルタリングなどの今回の問題設定

**モデル (方程式・分布) は与えられた上で
得られた観測値の時系列 $\mathbf{x}_{1:t} = [\mathbf{x}_1, \mathbf{x}_2, \dots, \mathbf{x}_t]$ から
再帰的に状態 \mathbf{z}_t , $p(\mathbf{z}_t | \mathbf{x}_{1:t})$ を推定する問題**

一般的な動的システムのモデル

状態空間モデル: state space model



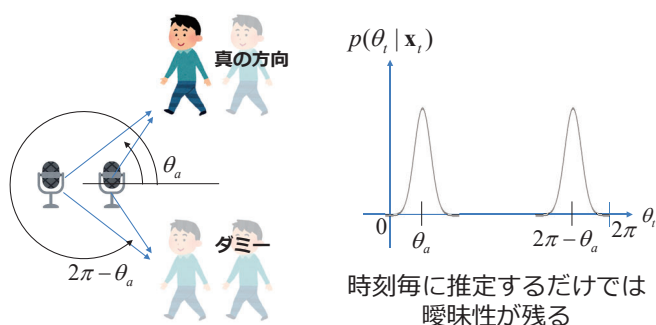
モデル $\mathbf{z}_t = \mathbf{f}_{t-1}(\mathbf{z}_{t-1}, \mathbf{w}_{t-1})$ $p(\mathbf{z}_t | \mathbf{z}_{t-1})$ (のパラメータ)
 $\mathbf{x}_t = \mathbf{h}_t(\mathbf{z}_t, \mathbf{v}_t)$ $p(\mathbf{x}_t | \mathbf{z}_t)$

が未知の場合はデータを用いた事前学習も可能

例: \mathbf{h}, \mathbf{f} や密度/分布関数 (のパラメータ予測) を Neural Network で実装することも可

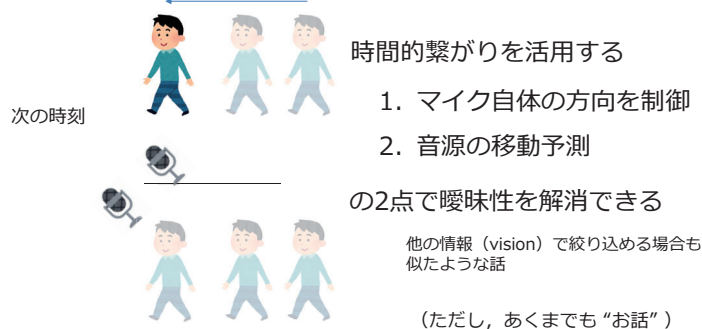
基本的に分布を求める

例: 2マイクの場合 (到来時間差が対称性)



基本的に分布を求める

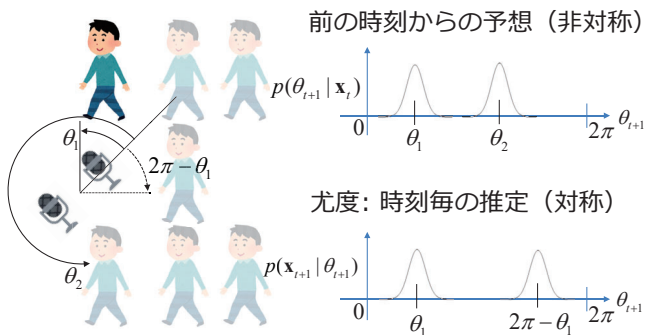
例: 2マイクの場合 (到来時間差が対称性)



基本的に分布を求める

31

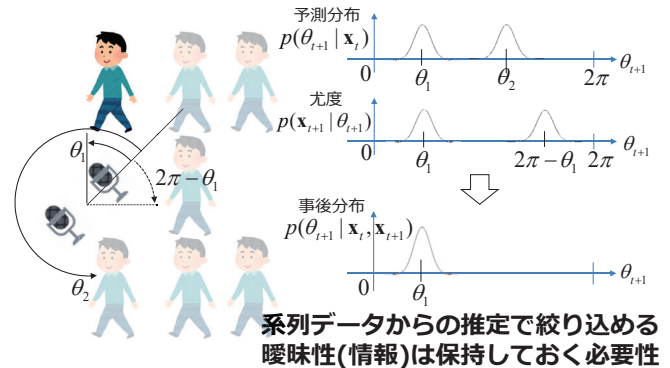
例: 2マイクの場合 (到来時間差が対称性)



基本的に分布を求める

32

例: 2マイクの場合 (到来時間差が対称性)



再帰的な定式化 確率モデル的な視点から

33

事後分布に基づく定式化

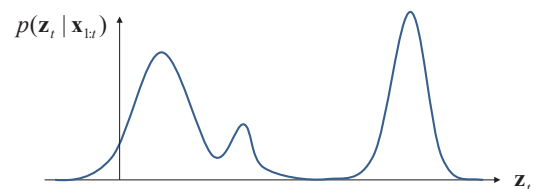
現状態 \mathbf{z}_t の事後分布 $p(\mathbf{z}_t | \mathbf{x}_{1:t})$ を求める

– その後に値を 1 つに決めるなら決める

良さを測る関数に利用可 例: 平均値, 最大事後確率, ...

$$\hat{\mathbf{z}}_t = \int \mathbf{z}_t p(\mathbf{z}_t | \mathbf{x}_{1:t}) d\mathbf{z}_t \quad \hat{\mathbf{z}}_t = \arg \max_{\mathbf{z}_t} p(\mathbf{z}_t | \mathbf{x}_{1:t}) \dots$$

下記のように山が2つある分布だとどうなる?



34

事後分布に基づく定式化

35

現状態 \mathbf{z}_t の事後分布 $p(\mathbf{z}_t | \mathbf{x}_{1:t})$ を求める

– その後に値を 1 つに決めるなら決める

良さを測る関数に利用可 例: 平均値, 最大事後確率, ...

$$\hat{\mathbf{z}}_t = \int \mathbf{z}_t p(\mathbf{z}_t | \mathbf{x}_{1:t}) d\mathbf{z}_t \quad \hat{\mathbf{z}}_t = \arg \max_{\mathbf{z}_t} p(\mathbf{z}_t | \mathbf{x}_{1:t}) \dots$$

山が2つある分布だとどうなる?

– ここでは**下記の3つだけ**知っていればよい

ベイズの定理 $p(\mathbf{x} | \mathbf{y}) = \frac{p(\mathbf{y} | \mathbf{x}) p(\mathbf{x})}{p(\mathbf{y})} \quad \left(= \frac{p(\mathbf{y} | \mathbf{x}) p(\mathbf{x})}{\int p(\mathbf{y} | \mathbf{x}) p(\mathbf{x}) d\mathbf{x}} \right)$

加法定理/周辺化 $p(\mathbf{x}) = \int p(\mathbf{x}, \mathbf{y}) d\mathbf{y} = \int p(\mathbf{x} | \mathbf{y}) p(\mathbf{y}) d\mathbf{y}$

独立性 (依存性) $p(\mathbf{x} | \mathbf{y}) = p(\mathbf{x}) \quad [\mathbf{x}, \mathbf{y} \text{ が独立な場合}]$

事後分布に基づく定式化

36

現状態 \mathbf{z}_t の事後分布 $p(\mathbf{z}_t | \mathbf{x}_{1:t})$ を求める

– その後に値を 1 つに決めるなら決める

良さを測る関数に利用可 例: 平均値, 最大事後確率, ...

$$\hat{\mathbf{z}}_t = \int \mathbf{z}_t p(\mathbf{z}_t | \mathbf{x}_{1:t}) d\mathbf{z}_t \quad \hat{\mathbf{z}}_t = \arg \max_{\mathbf{z}_t} p(\mathbf{z}_t | \mathbf{x}_{1:t}) \dots$$

山が2つある分布だと?

– 以降, よくわからなくなったら, **積分を和に 変換して離散的な場合をイメージ** してみることに

$$p(\mathbf{x}) = \int p(\mathbf{x}, \mathbf{y}) d\mathbf{y} = \int p(\mathbf{x} | \mathbf{y}) p(\mathbf{y}) d\mathbf{y}$$

$$\Rightarrow p(\mathbf{x}) = \sum_{\mathbf{y}} p(\mathbf{x}, \mathbf{y}) = \sum_{\mathbf{y}} p(\mathbf{x} | \mathbf{y}) p(\mathbf{y})$$

あらゆる \mathbf{y} (例えばサイコロの目) を列挙して, 確率を足し合わせる

事後分布に基づく定式化

事後分布(データを見た後)の再帰的表現を導く

$$p(\mathbf{z}_t | \mathbf{x}_{1:t}) = p(\mathbf{z}_t | \mathbf{x}_t, \mathbf{x}_{1:t-1}) \quad \text{ベイズの定理} \\ \text{動かして} \quad \text{調べたいもの} \quad \text{観測してすでに知っている値 (固定値)} \quad \text{予測と観測のAND} \\ = \frac{p(\mathbf{x}_t | \mathbf{z}_t, \mathbf{x}_{1:t-1}) p(\mathbf{z}_t | \mathbf{x}_{1:t-1})}{p(\mathbf{x}_t | \mathbf{x}_{1:t-1})} \quad \text{予測がどれだけ当たっているか}$$

– モデルの仮定より

$$\text{尤度 } p(\mathbf{x}_t | \mathbf{z}_t, \mathbf{x}_{1:t-1}) = p(\mathbf{x}_t | \mathbf{z}_t) \quad \text{x: 固定値} \rightarrow \text{尤度関数} \\ \text{データがどの程度 z の設定に} \\ \text{当てはまっているかを表現}$$

– 事前/予測分布: t-1 までのデータに基づく予測
(時刻 t のデータを見る前)

$$p(\mathbf{z}_t | \mathbf{x}_{1:t-1})$$

事後分布に基づく定式化

– 事前/予測分布 (データを見る前) の展開

$$p(\mathbf{z}_t | \mathbf{x}_{1:t-1}) = \int p(\mathbf{z}_t | \mathbf{z}_{t-1}, \mathbf{x}_{1:t-1}) p(\mathbf{z}_{t-1} | \mathbf{x}_{1:t-1}) d\mathbf{z}_{t-1} \\ \text{ある同時分布を周辺化した分布だと仮定} \\ = \int p(\mathbf{z}_t | \mathbf{z}_{t-1}) p(\mathbf{z}_{t-1} | \mathbf{x}_{1:t-1}) d\mathbf{z}_{t-1}$$

– モデルの仮定 (1次マルコフ) より

$$\text{状態遷移確率 } p(\mathbf{z}_t | \mathbf{z}_{t-1}, \mathbf{x}_{1:t-1}) = p(\mathbf{z}_t | \mathbf{z}_{t-1})$$

– t-1 時刻の事後分布: 既に求まっている (初期値は必要)

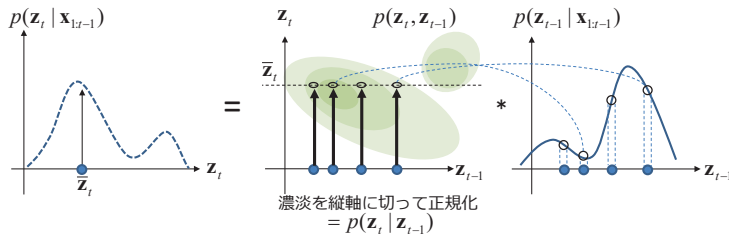
$$p(\mathbf{z}_{t-1} | \mathbf{x}_{1:t-1})$$

事後分布に基づく定式化

– 補足: 事前/予測分布の展開部分

$$p(\mathbf{z}_t | \mathbf{x}_{1:t-1}) = \int p(\mathbf{z}_t | \mathbf{z}_{t-1}) p(\mathbf{z}_{t-1} | \mathbf{x}_{1:t-1}) d\mathbf{z}_{t-1} \\ \text{状態遷移} \\ \mathbf{z}_t \text{ を生じるパターンを列挙して sum (全パターン場合分け)}$$

1つの点 $\bar{\mathbf{z}}_t$ を取って, 1つ1つ平易に考えると...



事後分布に基づく定式化

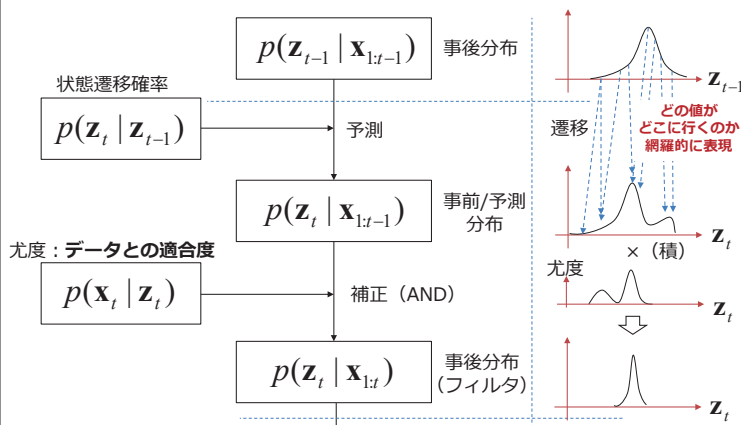
まとめ: 事後分布の再帰的な表現

$$p(\mathbf{z}_t | \mathbf{x}_{1:t}) = \frac{p(\mathbf{x}_t | \mathbf{z}_t) p(\mathbf{z}_t | \mathbf{x}_{1:t-1})}{p(\mathbf{x}_t | \mathbf{x}_{1:t-1})} \quad \text{動かして} \quad \text{すでに知っている値 (固定値)} \quad \text{積 (データとのマッチ具合でとったAND的条件)} \\ (= \int p(\mathbf{x}_t | \mathbf{z}_t) p(\mathbf{z}_t | \mathbf{x}_{1:t-1}) d\mathbf{z}_t)$$

$$p(\mathbf{z}_t | \mathbf{x}_{1:t-1}) = \int p(\mathbf{z}_t | \mathbf{z}_{t-1}) p(\mathbf{z}_{t-1} | \mathbf{x}_{1:t-1}) d\mathbf{z}_{t-1} \\ \mathbf{z}_t \text{ を生じるパターンを列挙して sum (全パターン場合分け)} \\ \text{(離散確率変数の場合: 積分} \rightarrow \text{和)}$$

状態遷移確率 $p(\mathbf{z}_t | \mathbf{z}_{t-1})$ } 以降 (講義の後半) は,
尤度 $p(\mathbf{x}_t | \mathbf{z}_t)$ } **モデルが既知だと**
仮定して話を進める

予測と事後分布の更新の流れ



部分観測マルコフ決定過程: POMDP Partially observed Markov decision process

システムの“行動”が加わったモデル

- POMDPとして第7回スライドにちらっと登場
- 自身の行動 $a \rightarrow$ 自分で決める = ランダムではない (自分のポリシーに依存)
- 行動を決める関数 g : 別のコスト関数で学習

$$\begin{aligned} & \mathbf{z}_{t-1} \xrightarrow{a_{t-1}} \mathbf{z}_t \\ & \text{いわゆる“信念分布”} \\ & p(\mathbf{z}_t | \mathbf{x}_{1:t}, a_{1:t-1}) = \frac{p(\mathbf{x}_t | \mathbf{z}_t, a_{t-1}) p(\mathbf{z}_t | \mathbf{x}_{1:t-1}, a_{1:t-1})}{p(\mathbf{x}_t | a_{1:t-1}, \mathbf{x}_{1:t-1})} \\ & p(\mathbf{z}_t | \mathbf{x}_{1:t-1}, a_{1:t-1}) \\ & = \int p(\mathbf{z}_t | \mathbf{z}_{t-1}, a_{t-1}) p(\mathbf{z}_{t-1} | \mathbf{x}_{1:t-1}, a_{1:t-2}) d\mathbf{z}_{t-1} \end{aligned}$$

考える例えは何でもよい: 発音の推測

なん・・・



予測: 次なんて言いそうか

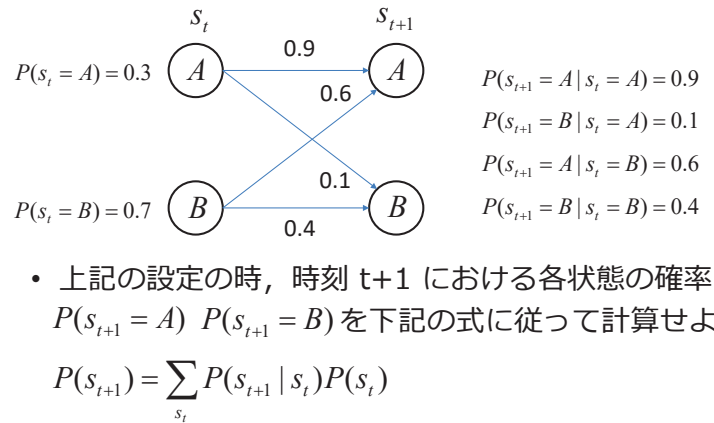
- 「なん」→「で」→「やねん」
- 「なん」→「じ」→「かな」

データ (聴覚情報): 「で」 っぽく聞こえた

事後・予測: 「やねん」が続くことを確信

動きの予測 (“相手はこう考えて動くだろう”), フェイントの掛け合い,
など実世界でも似たようなことしているはず
「場合分けによる予想+実際に起こったことによる絞り込み」という過程

Mini Quiz #1



設定・前提

具体的な
推論

解釈
補足

KALMAN FILTER 確率モデル的な視点から

他: 現代制御理論的な視点

カルマンフィルタ

線形・ガウスの制約下でのモデル, z_t の推定

- プロセス・観測方程式は線形
- 雑音 v_t, w_t はガウス分布に従う

プロセス $z_t = A_{t-1} z_{t-1} + w_{t-1}$ $w \sim N(w | 0, \Gamma)$

観測 $x_t = C_t z_t + v_t$ $v \sim N(v | 0, \Sigma)$

初期値 $z_1 = \mu_0 + u$ $u \sim N(u | 0, P_1)$

$A_t, C_t, \Sigma, \Gamma, \mu_0, P_1$ は既知のパラメータ
 Σ, Γ に t がついてても可

カルマンフィルタ

線形・ガウスの制約下でのモデル, z_t の推定

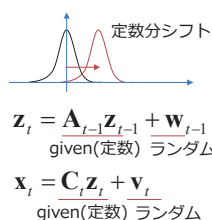
- プロセス・観測方程式は線形
- 雑音 v_t, w_t はガウス分布に従う

プロセス $p(z_t | z_{t-1}) = N(z_t | A_{t-1} z_{t-1}, \Gamma)$

観測 $p(x_t | z_t) = N(x_t | C_t z_t, \Sigma)$

初期値 $p(z_1) = N(z_1 | \mu_0, P_1)$

$A_t, C_t, \Sigma, \Gamma, \mu_0, P_1$ は既知のパラメータ



再帰的な推定

線形・ガウスモデル

- すべての潜在変数と観測変数にわたる同時分布は**ガウス分布**

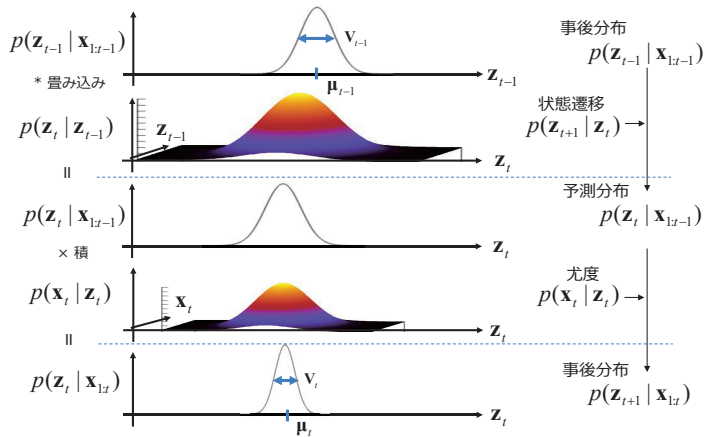
- 尤度・予測/事前分布・事後分布がガウス分布
= 分布のピークは1つだけ

平均 (一番それっぽい値) と **分散** (バラつき)
の2つを**再帰的に更新できれば良い**

(ガウス分布は平均・分散で形状が決まるから)

- 多変量ガウス分布の周辺分布・条件付き分布の
関係を利用して導出

カルマンフィルタの流れ



ガウス分布の周辺分布と条件付き分布

次の **2つ** を知っていれば式は追える

下記が与えられたとき

$$p(\mathbf{x}) = N(\mathbf{x} | \boldsymbol{\mu}, \boldsymbol{\Lambda}^{-1})$$

$$p(\mathbf{y} | \mathbf{x}) = N(\mathbf{y} | \mathbf{A}\mathbf{x} + \mathbf{b}, \mathbf{L}^{-1})$$

\mathbf{y} の周辺分布と \mathbf{x} の条件付き分布は

$$p(\mathbf{y}) = N(\mathbf{y} | \mathbf{A}\boldsymbol{\mu} + \mathbf{b}, \mathbf{L}^{-1} + \mathbf{A}\boldsymbol{\Lambda}^{-1}\mathbf{A}) \quad (\text{A})$$

$$p(\mathbf{x} | \mathbf{y}) = N(\mathbf{x} | \boldsymbol{\Sigma}\{\mathbf{A}^T\mathbf{L}(\mathbf{y} - \mathbf{b}) + \boldsymbol{\Lambda}\boldsymbol{\mu}\}, \boldsymbol{\Sigma}) \quad (\text{B})$$

$$\boldsymbol{\Sigma} = (\boldsymbol{\Lambda} + \mathbf{A}^T\mathbf{L}\mathbf{A})^{-1}$$

推論

流れ: 事後分布から平均・分散の関係を追う

– 時刻 t の事後分布 (ガウス) のパラメータ設定

$$p(\mathbf{z}_t | \mathbf{x}_{1:t}) = N(\mathbf{z}_t | \boldsymbol{\mu}_t, \mathbf{V}_t)$$

– 下記の再帰式に基づき時刻 $t-1$ との関係を導出

$$p(\mathbf{z}_t | \mathbf{x}_{1:t}) = \frac{p(\mathbf{x}_t | \mathbf{z}_t)p(\mathbf{z}_t | \mathbf{x}_{1:t-1})}{p(\mathbf{x}_t | \mathbf{x}_{1:t-1})}$$

$$p(\mathbf{z}_t | \mathbf{x}_{1:t-1}) = \int p(\mathbf{z}_t | \mathbf{z}_{t-1})p(\mathbf{z}_{t-1} | \mathbf{x}_{1:t-1})d\mathbf{z}_{t-1}$$

推論

– とりあえずひらたく展開

$$\begin{aligned} p(\mathbf{z}_t | \mathbf{x}_{1:t}) &= \frac{\text{尤度 } p(\mathbf{x}_t | \mathbf{z}_t) \text{ 予測分布 } p(\mathbf{z}_t | \mathbf{x}_{1:t-1})}{p(\mathbf{x}_t | \mathbf{x}_{1:t-1})} \\ &= \frac{1}{p(\mathbf{x}_t | \mathbf{x}_{1:t-1})} \int \text{状態遷移確率 } p(\mathbf{z}_t | \mathbf{z}_{t-1}) \int \text{t-1時刻の事後分布 } p(\mathbf{z}_{t-1} | \mathbf{x}_{1:t-1})d\mathbf{z}_{t-1} \\ &\quad p(\mathbf{z}_{t-1} | \mathbf{x}_{1:t-1}) = N(\mathbf{z}_{t-1} | \boldsymbol{\mu}_{t-1}, \mathbf{V}_{t-1}) \end{aligned}$$

事後分布パラメータ $\boldsymbol{\mu}_{t-1}, \mathbf{V}_{t-1}$ と $\boldsymbol{\mu}_t, \mathbf{V}_t$ をつなげる

$\boldsymbol{\mu}_{t-1}, \mathbf{V}_{t-1}$ から出発して順番に計算していく

計算過程もそこそこ重要だが、結果の解釈が大切

推論

予測分布 (データを見る前) の平均・共分散行列

$$\begin{aligned} p(\mathbf{z}_t | \mathbf{x}_{1:t-1}) &= \int \text{状態遷移確率 } p(\mathbf{z}_t | \mathbf{z}_{t-1}) \int \text{t-1時刻の事後分布 } p(\mathbf{z}_{t-1} | \mathbf{x}_{1:t-1})d\mathbf{z}_{t-1} \\ &= \int N(\mathbf{z}_t | \mathbf{A}_{t-1}\mathbf{z}_{t-1}, \boldsymbol{\Gamma})N(\mathbf{z}_{t-1} | \boldsymbol{\mu}_{t-1}, \mathbf{V}_{t-1})d\mathbf{z}_{t-1} \\ &= N(\mathbf{z}_t | \mathbf{A}_{t-1}\boldsymbol{\mu}_{t-1}, \mathbf{P}_t) \end{aligned}$$

式 (A) を適用

ただし

プロセス方程式に基づく状態の予測

$$\begin{aligned} \hat{\mathbf{z}}_t &= \mathbf{A}_{t-1}\boldsymbol{\mu}_{t-1} \quad \text{ピークの点 (平均): そのまま変換} \\ \mathbf{P}_t &= \mathbf{A}_{t-1}\mathbf{V}_{t-1}\mathbf{A}_{t-1}^T + \boldsymbol{\Gamma} \quad \text{雑音の分散が加算 (再生性からも)} \\ \hat{\mathbf{z}}_t^T &= \mathbf{A}_{t-1}(\boldsymbol{\mu}_{t-1}^T \mathbf{A}_{t-1}^T) \end{aligned}$$

推論

事後分布 (データを見た後) の平均・共分散行列

$$p(\mathbf{z}_t | \mathbf{x}_{1:t}) = \frac{p(\mathbf{x}_t | \mathbf{z}_t)p(\mathbf{z}_t | \mathbf{x}_{1:t-1})}{p(\mathbf{x}_t | \mathbf{x}_{1:t-1})}$$

$$\text{予測分布 } p(\mathbf{z}_t | \mathbf{x}_{1:t-1}) = N(\mathbf{z}_t | \mathbf{A}_{t-1}\boldsymbol{\mu}_{t-1}, \mathbf{P}_t)$$

$$\text{尤度 } p(\mathbf{x}_t | \mathbf{z}_t) = N(\mathbf{x}_t | \mathbf{C}_t\mathbf{z}_t, \boldsymbol{\Sigma})$$

式 (B) を適用

$$\boldsymbol{\mu}_t = \mathbf{V}_t(\mathbf{C}_t^T\boldsymbol{\Sigma}^{-1}\mathbf{x}_t + \mathbf{P}_t^{-1}\mathbf{A}_{t-1}\boldsymbol{\mu}_{t-1})$$

$$\mathbf{V}_t = (\mathbf{P}_t^{-1} + \mathbf{C}_t^T\boldsymbol{\Sigma}^{-1}\mathbf{C}_t)^{-1} \quad \hat{\mathbf{z}}_t \text{ 先ほどの予測値 (ピークの点)}$$

一応繋がったが、もう一つよくわからないので整理を続ける

推論

- 共分散行列の整理 (逆行列部分が対象)

$$\mathbf{V}_t = (\mathbf{P}_t^{-1} + \mathbf{C}_t^T \Sigma^{-1} \mathbf{C}_t)^{-1} \quad \downarrow \text{スライド下の I) より}$$

$$= \mathbf{P}_t - \mathbf{P}_t \mathbf{C}_t^T (\Sigma + \mathbf{C}_t \mathbf{P}_t \mathbf{C}_t^T)^{-1} \mathbf{C}_t \mathbf{P}_t$$

カルマンゲイン \mathbf{K}_t を (天下的に) 定義

$$\mathbf{K}_t = \mathbf{P}_t \mathbf{C}_t^T (\Sigma + \mathbf{C}_t \mathbf{P}_t \mathbf{C}_t^T)^{-1}$$

$$\mathbf{V}_t = \mathbf{P}_t - \mathbf{K}_t \mathbf{C}_t \mathbf{P}_t$$

$$= (\mathbf{I} - \mathbf{K}_t \mathbf{C}_t) \mathbf{P}_t$$

I) 逆行列の補助定理 $(\mathbf{A} + \mathbf{B} \mathbf{D}^{-1} \mathbf{C})^{-1} = \mathbf{A}^{-1} - \mathbf{A}^{-1} \mathbf{B} (\mathbf{D} + \mathbf{C} \mathbf{A} \mathbf{B})^{-1} \mathbf{C} \mathbf{A}^{-1}$

推論

- 平均を (ゴリゴリ) 整理

$$\begin{aligned} \boldsymbol{\mu}_t &= \mathbf{V}_t (\mathbf{C}_t^T \Sigma^{-1} \mathbf{x}_t + \mathbf{P}_t^{-1} \mathbf{A}_{t-1} \boldsymbol{\mu}_{t-1}) \quad \downarrow \text{Vをかつこの中にかけて 前ページの } \mathbf{V}_t = (\mathbf{P}_t^{-1} + \mathbf{C}_t^T \Sigma^{-1} \mathbf{C}_t)^{-1} \\ &= [(\mathbf{P}_t^{-1} + \mathbf{C}_t^T \Sigma^{-1} \mathbf{C}_t)^{-1} \mathbf{C}_t^T \Sigma^{-1}] \mathbf{x}_t + \mathbf{V}_t \mathbf{P}_t^{-1} \mathbf{A}_{t-1} \boldsymbol{\mu}_{t-1} \quad \downarrow \text{スライド下の II) より} \\ &= \mathbf{P}_t \mathbf{C}_t^T (\mathbf{C}_t \mathbf{P}_t \mathbf{C}_t^T + \Sigma)^{-1} \mathbf{x}_t + \mathbf{V}_t \mathbf{P}_t^{-1} \mathbf{A}_{t-1} \boldsymbol{\mu}_{t-1} \\ &= \mathbf{K}_t \mathbf{x}_t + (\mathbf{I} - \mathbf{K}_t \mathbf{C}_t) \mathbf{A}_{t-1} \boldsymbol{\mu}_{t-1} \quad \downarrow \begin{array}{l} \text{第1項: カルマンゲインの定義} \\ \text{第2項: 全ページ下の V を適用} \end{array} \\ &= \underbrace{\mathbf{A}_{t-1} \boldsymbol{\mu}_{t-1}}_{\text{予測値 } \hat{\mathbf{z}}_t} + \underbrace{\mathbf{K}_t (\mathbf{x}_t - \mathbf{C}_t \mathbf{A}_{t-1} \boldsymbol{\mu}_{t-1})}_{\text{観測値との誤差 (イノベーション) 観測 予測値 } \hat{\mathbf{z}}_t \text{ 方程式}} \end{aligned}$$

観測値のシミュレート + 誤差に基づき 状態の予測値を補正

II) 逆行列に関する等式 $(\mathbf{P}^{-1} + \mathbf{B}^T \mathbf{R}^{-1} \mathbf{B})^{-1} \mathbf{B}^T \mathbf{R}^{-1} = \mathbf{P} \mathbf{B}^T (\mathbf{B} \mathbf{P} \mathbf{B}^T + \mathbf{R})^{-1}$

推論

まとめ: 下記の再帰計算で事後分布がわかる

$$p(\mathbf{z}_t | \mathbf{x}_{1:t}) = N(\mathbf{z}_t | \boldsymbol{\mu}_t, \mathbf{V}_t)$$

$$\mathbf{P}_t = \mathbf{A}_{t-1} \mathbf{V}_{t-1} \mathbf{A}_{t-1}^T + \Gamma$$

$$\mathbf{K}_t = \mathbf{P}_t \mathbf{C}_t^T (\Sigma + \mathbf{C}_t \mathbf{P}_t \mathbf{C}_t^T)^{-1}$$

$$\boldsymbol{\mu}_t = \mathbf{A}_{t-1} \boldsymbol{\mu}_{t-1} + \mathbf{K}_t (\mathbf{x}_t - \mathbf{C}_t \mathbf{A}_{t-1} \boldsymbol{\mu}_{t-1})$$

$$\mathbf{V}_t = (\mathbf{I} - \mathbf{K}_t \mathbf{C}_t) \mathbf{P}_t$$

初期値 $\boldsymbol{\mu}_1 = \boldsymbol{\mu}_0 + \mathbf{K}_1 (\mathbf{x}_1 - \mathbf{C}_1 \boldsymbol{\mu}_0)$
 $\mathbf{V}_1 = (\mathbf{I} - \mathbf{K}_1 \mathbf{C}_1) \mathbf{P}_1$
 $\mathbf{K}_1 = \mathbf{P}_1 \mathbf{C}_1^T (\Sigma + \mathbf{C}_1 \mathbf{P}_1 \mathbf{C}_1^T)^{-1}$
 \mathbf{P}_1 パラメータ

処理の見通しをよくするためもう少し整理

推論

分母の正規化定数 $p(\mathbf{x}_t | \mathbf{x}_{1:t-1})$ も見ておく

- 同様にガウス分布

$$p(\mathbf{x}_t | \mathbf{x}_{1:t-1}) = N(\mathbf{x}_t | \mathbf{C}_t \mathbf{A}_{t-1} \boldsymbol{\mu}_{t-1}, \Sigma + \mathbf{C}_t \mathbf{P}_t \mathbf{C}_t^T)$$

- モデルがデータをどれだけ予測できたかを表現

- ・ 値が低い = 予測が外れている (低信頼度)

- 平均・分散: 観測方程式に基づいて予測したもの

$$\hat{\mathbf{x}}_t = \mathbf{C}_t \mathbf{A}_{t-1} \boldsymbol{\mu}_{t-1} \quad \mathbf{S}_t = \Sigma + \mathbf{C}_t \mathbf{P}_t \mathbf{C}_t^T$$

観測 状態 1時刻前の 観測雑音 予測値
行列 遷移 ピーク値 の分散 の分散 $\mathbf{P}_t = \mathbf{A}_{t-1} \mathbf{V}_{t-1} \mathbf{A}_{t-1}^T + \Gamma$

これらの値: 平均更新とゲイン計算で間接的に利用

$$\boldsymbol{\mu}_t = \mathbf{A}_{t-1} \boldsymbol{\mu}_{t-1} + \mathbf{K}_t (\mathbf{x}_t - \hat{\mathbf{x}}_t) \quad \mathbf{K}_t = \mathbf{P}_t \mathbf{C}_t^T \mathbf{S}_t^{-1} \quad \text{状態と観測の推定分散の比 (誤差の信頼度) のようなもの}$$

ステップの分解と意味の解釈

状態予測 $p(\mathbf{z}_t | \mathbf{x}_{1:t-1})$

- 平均: 移動 $\hat{\mathbf{z}}_t = \mathbf{A}_{t-1} \boldsymbol{\mu}_{t-1}$ モデルに従って 状態の
- 分散 $\mathbf{P}_t = \mathbf{A}_{t-1} \mathbf{V}_{t-1} \mathbf{A}_{t-1}^T + \Gamma$ 平均・分散を予測

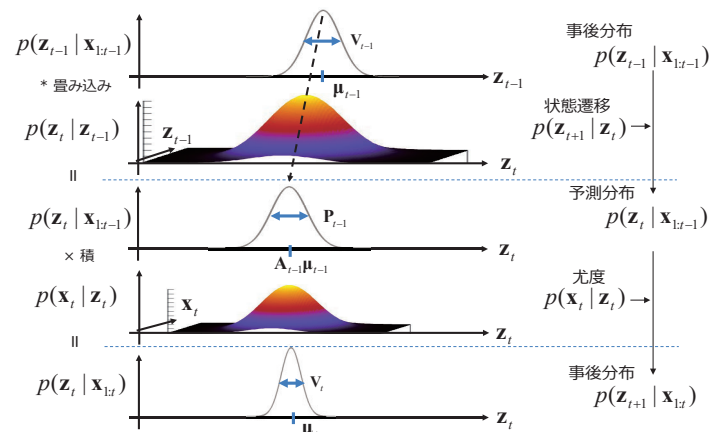
データ予測 $p(\mathbf{x}_t | \mathbf{x}_{1:t-1})$

- 平均 $\hat{\mathbf{x}}_t = \mathbf{C}_t \hat{\mathbf{z}}_t$ モデルに従って 観測データの
- 分散 $\mathbf{S}_t = \mathbf{C}_t \mathbf{P}_t \mathbf{C}_t^T + \Sigma$ 平均・分散を予測

フィルタ $p(\mathbf{z}_t | \mathbf{x}_{1:t})$

- ゲイン $\mathbf{K}_t = \mathbf{P}_t \mathbf{C}_t^T \mathbf{S}_t^{-1}$ 予測の曖昧性で補正 状態の分散が小さいほど 観測の分散が大きいほど 小さい
- 平均: 補正 $\boldsymbol{\mu}_t = \hat{\mathbf{z}}_t + \mathbf{K}_t (\mathbf{x}_t - \hat{\mathbf{x}}_t)$ 予測誤差に 基づいて補正
- 分散: 補正 $\mathbf{V}_t = \mathbf{P}_t - \mathbf{K}_t \mathbf{S}_t \mathbf{K}_t^T$

カルマンフィルタの流れ



Kalman Filter の学習

観測データからモデルパラメータを学習

フィルタ: データ + パラメータありで状態を推定

学習: データのみでパラメータ・状態を推定

– 伝達関数と音源信号の両方が未知など

cf. エコーキャンセラ

教師なし学習（ブラインド推定）の問題

– 勾配法, EMアルゴリズムなどを用いて推定

- 局所解の存在に注意 = 初期値依存性

他: Neural network - variational auto encoder

他: 状態にパラメータ自体を含める考え方

非線形関数への対応

Extended Kalman Filter

– 各方程式を1次のテーラー級数展開で局所的に線形化

- 平均値は非線形関数を利用 $\hat{\boldsymbol{\mu}}_t = \mathbf{f}_{t-1}(\hat{\boldsymbol{\mu}}_{t-1})$ $\hat{\mathbf{x}}_t = \mathbf{h}_t(\hat{\boldsymbol{\mu}}_t)$
- 共分散計算でヤコビ行列を利用 $\hat{\mathbf{A}}_{t-1}, \hat{\mathbf{C}}_t$

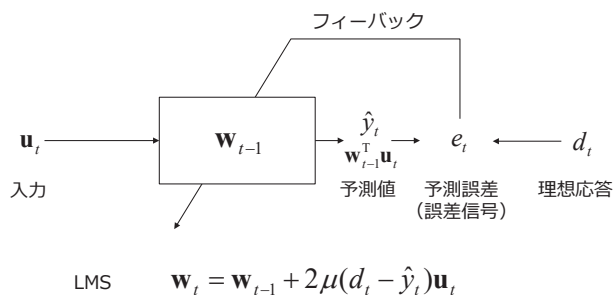
Unscented Kalman Filter

– EKF は平均値が非線形性に反映

– シグマポイントと呼ばれるサンプル点を用いて, 平均値と共分散行列を再構成

実際に応用するなら, UKF まで試して性能比較した方が良い

再掲: LMS の挙動



Mini Quiz #2 (余裕があれば)

- エコーキャンセラのフィルタをカルマンフィルターの枠組みで推定できる. プロセス方程式, 観測方程式をどのように当てはめればよいだろうか
- 応用する際, 柔軟に型にはめられるかどうか

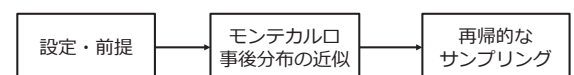
NLSMの例

$$\min_{\mathbf{w}_t} \|\mathbf{w}_t - \mathbf{w}_{t-1}\|^2 \quad \Rightarrow \quad \mathbf{z}_t = \mathbf{A}_{t-1}\mathbf{z}_{t-1} + \mathbf{w}_t$$

$$y_t = \mathbf{w}_t^T \mathbf{u}_t \quad \Rightarrow \quad \mathbf{x}_t = \mathbf{C}_t \mathbf{z}_t + \mathbf{v}_t$$

Mini Quiz #3 (余裕があれば)

- カルマンフィルタ（だけではないが）では, 初期値 $\boldsymbol{\mu}_0, \mathbf{P}_1$ や雑音/誤差項の共分散パラメータ $\boldsymbol{\Sigma}, \boldsymbol{\Gamma}$ の設定も重要となる.
- 下記を考えてみましょう
 - 初期値が検討外れの場合、どういう挙動をしようか
 - 対象を正しくモデル化できていない場合、共分散パラメータをどのように設定するのがよさそうか



PARTICLE FILTER

パーティクルフィルタ (粒子フィルタ)

非線形・非ガウスへの対応

→ 有限サンプルで分布を近似
モンテカルロ法の導入

⊖ Kalman Filter: ガウス分布 (ピークが1つ)

– 各サンプル (粒子/仮説) は過程をシミュレート
• 確率的に決まる箇所も乱数生成して “値” を計算

SIR (Sampling Important Resampling)
アルゴリズムを天下一的にざっと見る
• 広く使われている実装
• 外れ値に弱い ⇔ 実装が容易

パーティクルフィルタ (粒子フィルタ)

下記は既知だと仮定

– プロセス方程式 もしくは 状態遷移確率

$$\mathbf{z}_t = \mathbf{f}_{t-1}(\mathbf{z}_{t-1}, \mathbf{w}_{t-1}) \quad \mathbf{w}_{t-1} \sim p(\mathbf{w}_{t-1})$$

$$p(\mathbf{z}_t | \mathbf{z}_{t-1})$$

– 観測方程式 もしくは 尤度

$$\mathbf{x}_t = \mathbf{h}_t(\mathbf{z}_t, \mathbf{v}_t) \quad \mathbf{v}_t \sim p(\mathbf{v}_t)$$

$$p(\mathbf{x}_t | \mathbf{z}_t)$$

補足: “過程をシミュレート” 状態遷移における例

手元にある情報 (前提)

– モデルとそのパラメータ, および, \mathbf{z}_{t-1}

確率モデルの場合

1. \mathbf{z}_t を1つサンプリング: $\mathbf{z}_t \sim p(\mathbf{z}_t | \mathbf{z}_{t-1})$
おわり

方程式の場合 $\mathbf{z}_t = \mathbf{f}_{t-1}(\mathbf{z}_{t-1}) + \mathbf{w} \quad \mathbf{w} \sim p(\mathbf{w})$

1. $\mathbf{f}_{t-1}(\mathbf{z}_{t-1})$ を計算: \mathbf{f} は確定的に決まる関数

2. \mathbf{w} を1つサンプリング: $\mathbf{w} \sim p(\mathbf{w})$

3. 1と2の結果を足す
おわり

詳細はモデル依存

SIR フィルタの流れ

1. サンプリング

サンプルの密度で表現

$$p(\mathbf{x}_t | \mathbf{z}_t)$$

2. 重みの更新

尤度を重みとして利用

3. リサンプリング

重みとサンプル数の両方で表現

重み → サンプル数へ変換

状態遷移

1. サンプリング

サンプルの密度で表現

2. 重みの更新

予測分布の近似
 $\hat{p}(\mathbf{z}_t | \mathbf{x}_{1:t-1})$

事後分布の近似
 $\hat{p}(\mathbf{z}_t | \mathbf{x}_{1:t})$

事後分布の近似
 $\hat{p}(\mathbf{z}_t | \mathbf{x}_{1:t})$

事後分布の近似
 $\hat{p}(\mathbf{z}_t | \mathbf{x}_{1:t})$

事後分布の近似
 $\hat{p}(\mathbf{z}_t | \mathbf{x}_{1:t})$

事後分布の近似
 $\hat{p}(\mathbf{z}_t | \mathbf{x}_{1:t})$

事後分布の近似
 $\hat{p}(\mathbf{z}_t | \mathbf{x}_{1:t})$

事後分布の近似
 $\hat{p}(\mathbf{z}_t | \mathbf{x}_{1:t})$

事後分布の近似
 $\hat{p}(\mathbf{z}_t | \mathbf{x}_{1:t})$

事後分布の近似
 $\hat{p}(\mathbf{z}_t | \mathbf{x}_{1:t})$

事後分布の近似
 $\hat{p}(\mathbf{z}_t | \mathbf{x}_{1:t})$

事後分布の近似
 $\hat{p}(\mathbf{z}_t | \mathbf{x}_{1:t})$

モンテカルロ法

積分の計算

– 解析的な計算が難しい

$$E[f(\mathbf{x})] = \int f(\mathbf{x})p(\mathbf{x})d\mathbf{x}$$

– $p(\mathbf{x})$ に従う L 個のサンプル $\{\mathbf{x}^l; l=1, \dots, L\}$ で近似

$$\hat{p}(\mathbf{x}) = \frac{1}{L} \sum_l \delta(\mathbf{x} - \mathbf{x}^{(l)})$$

$$E[f(\mathbf{x})] \approx \frac{1}{L} \sum_l f(\mathbf{x}^{(l)}) \quad \text{サンプルそれぞれが } \frac{1}{L} \text{ の重みをもつ}$$

※ 関数 f が確率分布 (尤度関数) の場合もある $p(\mathbf{x}) = \int p(\mathbf{x} | \mathbf{y})p(\mathbf{y})d\mathbf{y}$

事後分布による期待値の近似

観測値 $\mathbf{x}_{1:t}$ が与えられた元で、事後分布
 $p(\mathbf{z}_t | \mathbf{x}_{1:t})$ からの L 個のサンプルを得たい

ひとまず任意の関数 f の事後分布による期待値がどうなるかを見る

$$E[f(\mathbf{z}_t)] = \int f(\mathbf{z}_t)p(\mathbf{z}_t | \mathbf{x}_{1:t})d\mathbf{z}_t \quad \text{f 以外の部分が事後分布部分}$$

ベイズの定理

$$= \int f(\mathbf{z}_t) \frac{p(\mathbf{x}_t | \mathbf{z}_t, \mathbf{x}_{1:t-1})p(\mathbf{z}_t | \mathbf{x}_{1:t-1})}{p(\mathbf{x}_t | \mathbf{x}_{1:t-1})} d\mathbf{z}_t$$

モデルの仮定

$$= \frac{\int f(\mathbf{z}_t)p(\mathbf{x}_t | \mathbf{z}_t)p(\mathbf{z}_t | \mathbf{x}_{1:t-1})d\mathbf{z}_t}{\int p(\mathbf{x}_t | \mathbf{z}_t)p(\mathbf{z}_t | \mathbf{x}_{1:t-1})d\mathbf{z}_t}$$

事後分布による期待値の近似

観測値 $\mathbf{x}_{1:t}$ が与えられた元で、事後分布 $p(\mathbf{z}_t | \mathbf{x}_{1:t})$ からの L 個のサンプルを得たい

$$\begin{aligned}
 E[f(\mathbf{z}_t)] &= \frac{\int f(\mathbf{z}_t) p(\mathbf{x}_t | \mathbf{z}_t) p(\mathbf{z}_t | \mathbf{x}_{1:t-1}) d\mathbf{z}_t}{\int p(\mathbf{x}_t | \mathbf{z}_t) p(\mathbf{z}_t | \mathbf{x}_{1:t-1}) d\mathbf{z}_t} \leftarrow \text{正規化定数} \\
 &\approx \frac{\frac{1}{L} \sum_{l=1}^L f(\mathbf{z}_t^{(l)}) p(\mathbf{x}_t | \mathbf{z}_t^{(l)})}{\frac{1}{L} \sum_{l=1}^L p(\mathbf{x}_t | \mathbf{z}_t^{(l)})} \leftarrow \text{予測分布からのサンプル } \mathbf{z}_t^{(l)} \sim p(\mathbf{z}_t | \mathbf{x}_{1:t-1}) \\
 &= \sum_{l=1}^L w_t^{(l)} f(\mathbf{z}_t^{(l)}) \quad w_t^{(l)} = \frac{p(\mathbf{x}_t | \mathbf{z}_t^{(l)})}{\sum_{m=1}^L p(\mathbf{x}_t | \mathbf{z}_t^{(m)})}
 \end{aligned}$$

尤度による重み付き平均
※ サンプルは予測分布に従ったもの

事後分布による期待値の近似

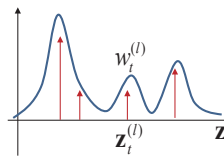
– 期待値計算

$$\mathbf{z}_t^{(l)} \sim p(\mathbf{z}_t | \mathbf{x}_{1:t-1}) \quad \text{サンプル点に尤度が重みとして加わる}$$

$$E[f(\mathbf{z}_t)] \approx \sum_{l=1}^L w_t^{(l)} f(\mathbf{z}_t^{(l)}) \quad w_t^{(l)} = \frac{p(\mathbf{x}_t | \mathbf{z}_t^{(l)})}{\sum_{m=1}^L p(\mathbf{x}_t | \mathbf{z}_t^{(m)})}$$

上式: 事後分布を 予測分布からの **L 個のサンプル集合** $\{\mathbf{z}_t^{(l)}\}$ と 対応する **重み** $\{w_t^{(l)}\}$ で離散的に表現

$$p(\mathbf{z}_t | \mathbf{x}_{1:t}) \approx \sum_{l=1}^L w_t^{(l)} \delta(\mathbf{z}_t - \mathbf{z}_t^{(l)}) \quad \text{※ 等しい重み } \frac{1}{L} \text{ ではない}$$

$$\left[\int f(\mathbf{z}_t) \overbrace{\sum_{l=1}^L w_t^{(l)} \delta(\mathbf{z}_t - \mathbf{z}_t^{(l)})}^{p(\mathbf{x}_t | \mathbf{x}_{1:t})} d\mathbf{z}_t = \sum_{l=1}^L w_t^{(l)} f(\mathbf{z}_t^{(l)}) \right]$$


予測分布の再帰的な表現

逐次的なサンプリング

- 時刻 t で重みとサンプル集合はある $\{\mathbf{z}_t^{(l)}, w_t^{(l)}\}$
- 時刻 $t+1$ での重みとサンプルを求める

$$\begin{aligned}
 p(\mathbf{z}_{t+1} | \mathbf{x}_{1:t}) &= \int p(\mathbf{z}_{t+1} | \mathbf{z}_t, \mathbf{x}_{1:t}) p(\mathbf{z}_t | \mathbf{x}_{1:t-1}) d\mathbf{z}_t && \text{ベイズの定理} \\
 &= \int p(\mathbf{z}_{t+1} | \mathbf{z}_t) p(\mathbf{z}_t | \mathbf{x}_t, \mathbf{x}_{1:t-1}) d\mathbf{z}_t && \text{モデルの仮定} \\
 &= \frac{\int p(\mathbf{z}_{t+1} | \mathbf{z}_t) p(\mathbf{x}_t | \mathbf{z}_t) p(\mathbf{z}_t | \mathbf{x}_{1:t-1}) d\mathbf{z}_t}{\int p(\mathbf{x}_t | \mathbf{z}_t) p(\mathbf{z}_t | \mathbf{x}_{1:t-1}) d\mathbf{z}_t}
 \end{aligned}$$

予測分布の再帰的な表現

逐次的なサンプリング

- 時刻 t で重みとサンプル集合はある $\{\mathbf{z}_t^{(l)}, w_t^{(l)}\}$
- 時刻 $t+1$ での重みとサンプルを求める

$$\begin{aligned}
 p(\mathbf{z}_{t+1} | \mathbf{x}_{1:t}) &= \frac{\int p(\mathbf{z}_{t+1} | \mathbf{z}_t) p(\mathbf{x}_t | \mathbf{z}_t) p(\mathbf{z}_t | \mathbf{x}_{1:t-1}) d\mathbf{z}_t}{\int p(\mathbf{x}_t | \mathbf{z}_t) p(\mathbf{z}_t | \mathbf{x}_{1:t-1}) d\mathbf{z}_t} \\
 &\approx \sum_l w_t^{(l)} p(\mathbf{z}_{t+1} | \mathbf{z}_t^{(l)}) \quad \text{重み} \times \text{状態遷移確率} \quad \mathbf{z}_t^{(l)} \sim p(\mathbf{z}_t | \mathbf{x}_{1:t-1}) \\
 w_t^{(l)} &= \frac{p(\mathbf{x}_t | \mathbf{z}_t^{(l)})}{\sum_{m=1}^L p(\mathbf{x}_t | \mathbf{z}_t^{(m)})}
 \end{aligned}$$

予測分布の再帰的な表現

1. 現時刻のサンプルで重み (重要度) 計算

$$\mathbf{z}_t^{(l)} \sim p(\mathbf{z}_t | \mathbf{x}_{1:t-1}) \quad (\text{すでにサンプルはあると仮定})$$

$$w_t^{(l)} = \frac{p(\mathbf{x}_t | \mathbf{z}_t^{(l)})}{\sum_{m=1}^L p(\mathbf{x}_t | \mathbf{z}_t^{(m)})} \quad \left[p(\mathbf{z}_t | \mathbf{x}_{1:t}) \approx \sum_l w_t^{(l)} \delta(\mathbf{z}_t - \mathbf{z}_t^{(l)}) \right]$$

2. 近似した予測分布からのサンプリング

= **混合分布**からのサンプリング

$$p(\mathbf{z}_{t+1} | \mathbf{x}_{1:t}) \approx \sum_l w_t^{(l)} p(\mathbf{z}_{t+1} | \mathbf{z}_t^{(l)}) \quad w_t^{(l)}: \text{混合重み}$$

2 ができれば, 再帰的に 1. 重み計算 へ移れる

混合分布からのサンプリング (ステップを分割)

1. どの分布から生成されるか (クラス) を表す変数 l_k をサンプリング (リサンプリング)

$$l_k \sim \text{Cat}(l | w_t^{(1)}, \dots, w_t^{(L)}) \quad \sum_l w_t^{(l)} = 1 \quad \text{カテゴリカル分布}$$

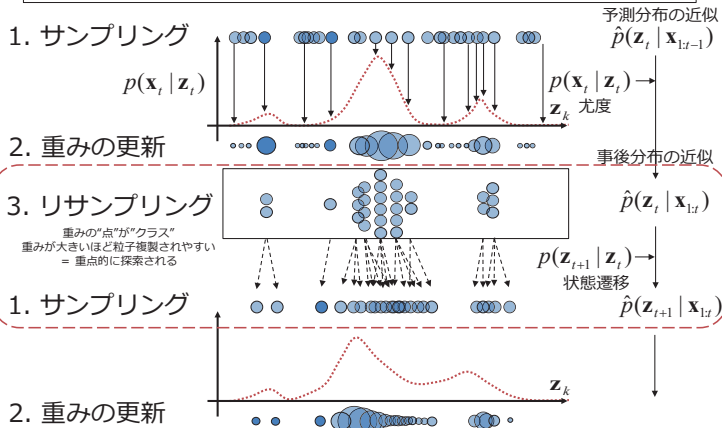
$$\text{もしくは } \mathbf{z}_t^{(l_k)} \sim \sum_{l=1}^L w_t^{(l)} \delta(\mathbf{z}_t - \mathbf{z}_t^{(l)}) \approx p(\mathbf{z}_t | \mathbf{x}_{1:t})$$

- 事後分布の観点: サンプルの複製手続き
- “重み” \rightarrow “数”へ変換 & 不要粒子除去: 重みは $1/L$ に

2. 該当する状態遷移分布から \mathbf{z}_{t+1} をサンプリング

$$\mathbf{z}_{t+1}^{(k)} \sim p(\mathbf{z}_{t+1} | \mathbf{z}_t^{(l_k)}) \quad k=1, \dots, L \text{ まで繰り返す}$$

SIR フィルタの流れ



リサンプリングの1実装

Systematic Resampling

- 混合分布の重みからのサンプリング方法
- 重みに比例して規則的にサンプリング
 - サンプル数 L のもとで

1. $\hat{p}(z_t | x_{1:t})$ の累積分布を計算

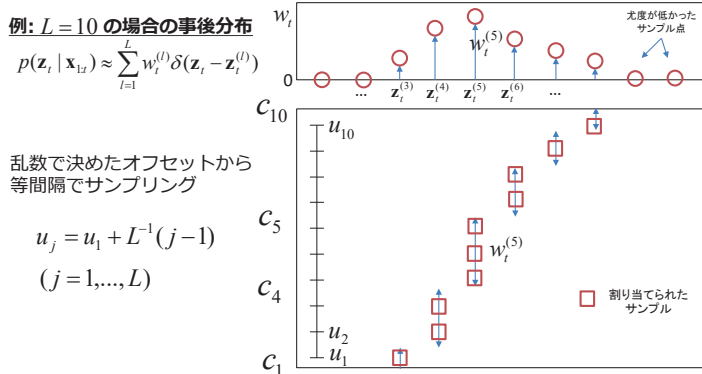
$$c_1 = 0$$

$$c_l = c_{l-1} + w_t^{(l)} \quad (l = 1, \dots, L)$$

2. 一様乱数を引く $u_l \sim U[0, L^{-1}]$

リサンプリングの1実装

3. サンプルの割り当て → 重みをリセット



SIRアルゴリズムのまとめ

時刻 t 毎に下記を繰り返す

1. $z_{t-1}^{(l)}$ に基づきサンプリング ($l = 1, \dots, L$)

$$z_t^{(l)} \sim p(z_t | z_{t-1}^{(l)}) \quad \text{もしくは} \quad \mathbf{w}_{t-1}^{(l)} \sim p(\mathbf{w}_{t-1}^{(l)})$$

$$z_t^{(l)} = \mathbf{f}_{t-1}(z_{t-1}^{(l)}, \mathbf{w}_{t-1}^{(l)})$$

※ 乱数生成 + モデルによる予測

2. 尤度で重み計算

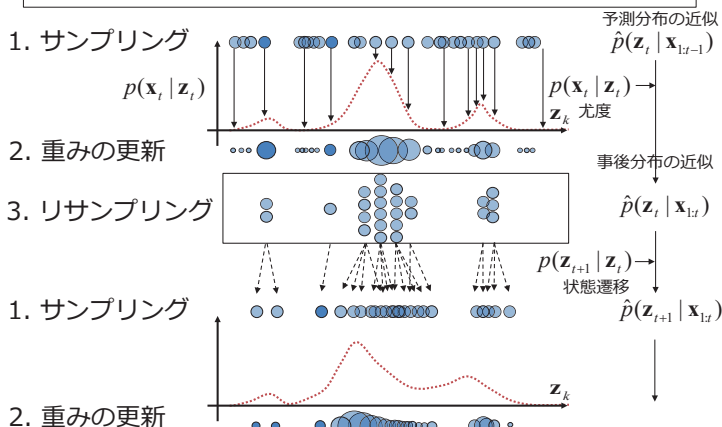
$$w_t^{(l)} = \frac{p(x_t | z_t^{(l)})}{\sum_{m=1}^L p(x_t | z_t^{(m)})}$$

3. $z_t^{(l')}$ をリサンプリング ($l' = 1, \dots, L$)

$$z_t^{(l')} \sim \sum_{l=1}^L w_t^{(l)} \delta(z_t - z_t^{(l)})$$

更新後、添え字を付けなおす ($l' \rightarrow l$)

SIR フィルタの流れ (再掲)



応用する場合に考えてみるべき点

状態ベクトルの次元数

- 巨大な場合: 計算量・粒子数
- 観測ベクトルの次元数より大きい場合

モデル化

- センサデータそのまま or 特徴量表現
 - 低次元潜在空間の導入といった選択肢もありえる
- 人の知識・知見を取り込める部分はどこか
 - 物理モデル, 状態変数の分解 (問題に合わせた確率的生成モデルの仮定), 事前分布
- データから学習させないと難しい部分はどこか
- 不確定要素を含む部分はどこか

次回以降 モデルパラメータの学習を含む

今回の話: パラメータが既知 A, C や $p(\mathbf{x}_t | \mathbf{z}_t)$ $p(\mathbf{z}_t | \mathbf{z}_{t-1})$

– “データ”と“パラメータ”の関係

- モデル: $\mathbf{y} = f(\mathbf{x}, \boldsymbol{\theta}), p(\mathbf{y} | \mathbf{x}, \boldsymbol{\theta})$
- データ \mathbf{x} とパラメータ $\boldsymbol{\theta}$ 固定で \mathbf{y} を求める
→ 認識・予測・推論
- データ (\mathbf{y}, \mathbf{x}) 固定でパラメータ $\boldsymbol{\theta}$ を求める → 学習

次回以降: データを用いて決定 = 学習

– 意識すべき 3つの要素

モデル × コスト関数 × 学習 (最適化)
型 「良さ」の定義 値の求め方

参考文献

- C.M.ビショップ「パターン認識と機械学習 上下」
- 持橋大地, 大羽成征「ガウス過程と機械学習」
- 浅野太「音のアレイ信号処理」
- S. ヘイキン (武部 幹訳) 「適応フィルタ入門」
- S. Haykin, “Adaptive Filter Theory fifth edition”

参考文献

密度関数推定 using NNs

D. A. Nix, A.S. Weigend, “Learning Local Error Bars for Nonlinear Regression,” in *Advances Neural Information Processing Systems 7*, 1994.

P. M. Williams, “Using Neural Networks to Model Conditional Multivariate Densities,” *Neural Computation*, vol. 8, no. 4, pp. 843-854, 1996.

状態空間モデル using NNs

R. G. Krishnan, U. Shalit, D. Sontag, “Structured Inference Networks for Nonlinear State Space Models,” in *Proc. of AAAI*, 2017, pp.2101-2109.

G. Revach, N. Shlezinger, X. Ni, A. L. Escoriza, R. J. G. van Sloun and Y. C. Eldar, “KalmanNet: Neural Network Aided Kalman Filtering for Partially Known Dynamics,” in *IEEE Transactions on Signal Processing*, vol. 70, pp. 1532-1547, 2022.

Unscented Particle Filter

R. van der Merwe, A. Doucet, N. de Freitas, and E. Wan, “The Unscented Particle Filter,” in *Advances Neural Information Processing Systems 13*, 2000.